

рёк. Если степень развития К. такова, что возникает и склоняется множество пузырьков, то явление сопровождается сильным шумом со сплошным спектром от неск. сотен Гц до сотен кГц. Спектр расширяется в область низких частот по мере увеличения макс. радиуса пузырьков.

Если бы жидкость была идеально однородной, а поверхность тела, с к-рым она граничит, идеально симметричной, то разрыв происходил бы при давлении значительно более низком, чем давление насыщенного пара жидкости, при к-ром жидкость становится метастабильной. Прочность воды на разрыв, вычисленная при учёте тепловых флуктуаций, равна 1500 кг/см<sup>2</sup>. Реальные жидкости менее прочны. Макс. растяжение тщательно очищенной воды, достигнутое при темп-ре воды 10 °С, составляет 280 кг/см<sup>2</sup>. Обычно же разрыв возникает при давлениях лишь немногого меньших давлений насыщ. пара. Низкая прочность реальных жидкостей связана с наличием в них т. н. кавитации, зародышей: плохо смачиваемых участков поверхности обтекаемого тела, твёрдых частиц, частиц с трещинами, заполненными газом, микроскопич. газовых пузырьков, предохраняемых от растворения мономолекулярными органич. плёнками, ионных образований.

Если кавитация зародыш имеет форму газового пузырька радиуса  $R_0$ , содержащего водяной пар при давлении насыщения  $p_n$ , то статич. давление, при к-ром он теряет устойчивость и начинает неограниченно расширяться, выражается ф-лью

$$P_{kp} = p_n - \frac{2}{3\sqrt{3}} \left( \frac{2\sigma}{R_0} \right) \left[ 1 + (p_0 - p_n) \frac{R_0}{R} \right]^{-1/2}, \quad (1)$$

где  $p_0$  — равновесное внешн. давление,  $R$  — радиус расширяющегося пузырька,  $\sigma$  — поверхностное натяжение жидкости. Движение границы зародыша в предположении, что жидкость идеальна и несжимаема, а течение около пузырька сферически симметрично и изменение объёма газа происходит адиабатически, описывается ур-нием

$$R \frac{d^2 R}{dt^2} + \frac{3}{2} \left( \frac{dR}{dt} \right)^2 + \frac{1}{\rho} \frac{2\sigma}{R} - \frac{1}{\rho} \left( p_0 - p_n + \frac{2\sigma}{R_0} \right) \left( \frac{R_0}{R} \right)^{3\gamma} = -\frac{1}{\rho} [p_n - p(t)], \quad (2)$$

где  $\gamma$  — показатель адиабаты,  $\rho$  — массовая плотность жидкости. Решение ур-ния (2) имеет важные приложения в вопросах кипения перегретых жидкостей, акустич. кавитации, кавитации, эрозии и т. д.

Гидродинамич. К. характеризуется т. н. числом кавитации  $\xi = 2(p_\infty - p_n)/\rho v_\infty^2$  (где  $p_\infty$  и  $v_\infty$  — давление и скорость набегающего потока), к-рое служит одним из критериев подобия, моделирующих гидродинамич. течения. При моделировании наступления К. по числу  $\xi$  наблюдается масштабный эффект, заключающийся в более раннем возникновении К. при испытаниях с большей скоростью или на телах больших размеров.

Увеличение скорости потока после начала К. влечёт за собой более быстрое возрастание числа развивающихся пузырьков, вслед за чем происходит их объединение в общую каверну и течение переходит в струйное. Для плохообтекаемых тел, обладающих острыми кромками, струйный вид К. формируется очень быстро. Макс. площадь поперечного сечения и длина пространств. каверны при  $\xi \ll 1$  приближённо обратно пропорционально  $\xi$ , тогда как сопротивление тела, образующего каверну, слабо зависит от  $\xi$ .

Если внутрь каверны через тело, около к-рого возник К., подвести атм. воздух или иной газ, то размеры каверны увеличиваются. При этом устанавливается течение, к-рое будет соответствовать числу К., определяемому уже не давлением насыщ. водяного пара  $p_n$ , а давлением газа внутри каверны  $p_k$ :  $\xi = 2(p_\infty - p_k)/\rho v_\infty^2$ .

Всплытие и деформация такой кавитационной каверны будут определяться Фруда числом  $Fr = v_\infty^2/gd$ , где  $g$  — ускорение силы тяжести, а  $d$  — нек-рый характерный линейный размер. Т. к.  $r_k$  может быть много больше  $r_n$ , то в таких условиях возможно при малых скоростях набегающего потока получать течения, соответствующие очень низким значениям  $\xi$ , т. е. глубоким степеням развития К. Так, при движении тела в воде со скоростью 6—10 м/с можно получить его обтекание, соответствующее скоростям до 100 м/с. Кавитаци. течения, получающиеся в результате подвода газа внутрь каверны, наз. и скусств. К. Однако полное моделирование методом искусств. К. получить не удаётся, т. к. практически невозможно одновременно получить малые значения  $\xi$  и большие  $Fr$ , а также смоделировать процесс уноса газа из каверны.

Гидродинамич. К. может сопровождаться рядом физ.-хим. эффектов, напр. искрообразованием и люминесценцией. Обнаружено влияние электрич. тока и магн. поля на К., возникающую при обтекании цилиндра в гидродинамич. трубе. Большое практическое значение в технике имеет изучение К. в криогенных и кипящих жидкостях.

Наличие К. неблагоприятно сказывается на работе гидравлич. машин, турбин, насосов, судовых гребных винтов, что заставляет принимать меры к избежанию К. Если это оказывается невозможным, то в нек-рых случаях полезно усилить развитие К., создать т. н. режим суперкавитации, отличающейся струйным характером обтекания, и, применив спец. профилирование лопастей, обеспечить благоприятные условия работы механизмов. Развитие К. в гидросистемах ракет может приводить к автоколебаниям и оказывать воздействие, напр., на продольную устойчивость корпуса ракеты.

Замыкание кавитаци. пузырьков вблизи поверхности обтекаемого тела часто приводит к разрушению по-

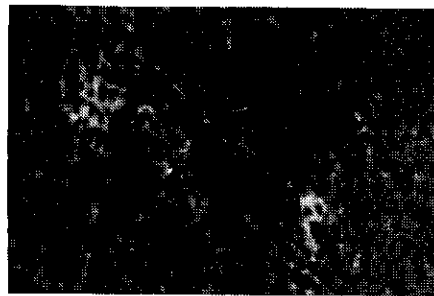


Рис. 3. Участок разрушенной поверхности гребного винта.

верхности — т. н. кавитаци. эрозии (рис. 3). Теория эрозионного процесса не завершена. Наиб. распространённая точка зрения на природу явления состоит в том, что оно обусловлено многократным воздействием на поверхность обтекаемого тела ударных давлений, сопровождающих склоняющиеся кавитаци. пузырьков; окисл. процессы также играют нек-рую роль.

Эксперим. исследования К. проводятся в т. н. кавитаци. трубах, представляющих собой обычные гидродинамич. трубы, оборудованные системой регулирования статич. давления. Эрозионные испытания разл. материалов часто осуществляются посредством магнитострикц. вибраторов, на торце к-рых легко возбуждаются К. и сопутствующая ей эрозия.

Лит.: Седов Л. И., Плоские задачи гидродинамики и аэродинамики, 2 изд., М., 1966; Коринфельд М., Упрочность и прочность жидкостей, М.—Л., 1951; Горшков А. С., Русецкий А. А., Кавитационные трубы, 2 изд., Л., 1972; Перников А. Д., Проблемы кавитации, 2 изд., Л., 1966; Искусственная кавитация, Л., 1971; Кинпп Р.,